

مدلسازی خطی برای تعیین مجموعه وزن‌های مشترک در ساختار شبکه‌ای

جعفر پورمحمد^{۱*}، زینال زینال^۲

۱- دانشیار، دانشگاه شهید مدنی آذربایجان، گروه ریاضی کاربردی، تبریز، ایران

۲- دانشجوی دکترا، دانشگاه شهید مدنی آذربایجان، گروه ریاضی کاربردی، تبریز، ایران

رسید مقاله: ۳ شهریور ۱۳۹۵

پذیرش مقاله: ۹ بهمن ۱۳۹۵

چکیده

برای ارزیابی واحدهای تصمیم‌گیری در مدل‌های سنتی تحلیل پوششی داده‌ها چالش صفر شدن وزن‌ها و غیریکسان بودن وزن‌ها وجود دارد. از طرف دیگر در تحلیل پوششی داده‌های سنتی برای اندازه‌گیری کارآیی، سیستم را به عنوان جعبه سیاه در نظر می‌گیرند و بخش‌های داخلی آن را درنظر نمی‌گیرند. یکی از راهکارهای مقابله با این مشکل استفاده از مجموعه وزن‌های مشترک برای ورودی‌ها و خروجی‌ها در تمامی واحدهای تصمیم‌گیری است. در عمل‌آکثر واحدهای که با هم مورد ارزیابی قرار می‌گیرند، شامل بخش‌های داخلی با ساختارهای مختلف هستند که اصطلاحاً به آن‌ها ساختار شبکه‌ای اطلاق می‌شود. مشابه چنین چالش تحلیل پوششی داده‌های سنتی، چالشی برای ساختارهای شبکه‌ای نیز وجود دارد. مجموعه وزن‌های مشترک در ساختار شبکه‌ای دو مرحله‌ای در بعضی مواقع مطرح شده است که شامل ساختارهای عمومی شبکه نمی‌شود. این مقاله چالش ذکر شده را برای ساختارهای عمومی شبکه مطرح کرده و با ارایه مدلی جدید مساله مجموعه وزن‌های مشترک برای ساختار عمومی شبکه حل می‌شود. برای تشریح نتایج، مدل‌ها روی مثال‌های کائو به کار گرفته می‌شود.

کلمات کلیدی: وزن مشترک، تحلیل پوششی داده‌های شبکه‌ای، برنامه‌ریزی چندهدفه، برنامه‌ریزی آرمانی.

۱ مقدمه

تحلیل پوششی داده‌ها^۱ (DEA) معرفی شده توسط چارنز و همکاران [۱] ابزار مهمی برای اندازه‌گیری کارآیی واحدهای تصمیم‌گیری^۲ (DMU) است. در مدل‌های تحلیل پوششی داده‌ها به هر یک از شاخص‌های ورودی و خروجی وزن‌هایی را نسبت می‌دهد که کارآیی نسبی هر واحد تصمیم‌گیری مورد ارزیابی در مقایسه با سایر واحدها ماکسیمم شود؛ لذا وزن‌های تعیین شده برای هر شاخص در بهترین وضعیت برای آن DMU محاسبه شده و از هر واحد نسبت به واحد دیگر تغییر می‌کند.

* عهده‌دار مکاتبات

آدرس الکترونیکی: Pourmahmoud@azaruniv.ac.ir

¹ Data Envelopment Analysis
² Decision Making Unit

با توجه به مقاله چانز و همکاران [۲] کنترل بیشتر روی وزن‌ها را می‌توان در سه حالت ۱) صفر قرار دادن وزن بعضی فاکتورها، ۲) نظرات مدیر [۳] تعداد شاخص‌های ارزیابی نسبت به تعداد واحدهای تصمیم‌گیری، مورد بررسی قرار داد.

وزن‌های مشترک در DEA ابتدا در سال ۱۹۹۰ توسط کوک و همکاران [۴] و در سال ۱۹۹۱ توسط رول و همکاران [۵] معرفی شد که به عنوان یکی از روش‌های مناسب برای ارزیابی تمام DMU‌ها با وزن‌های منحصر‌بفرد شناخته شده است. پژوهشگران دیگر برای رسیدن به مجموعه وزن‌های مشترک روش‌های متفاوتی از جمله رول و همکاران [۶] وزن مشترک را با استفاده از کراندار کردن وزن‌ها و باریک کردن دامنه وزن‌ها و میانگین وزنی وزن‌ها را به کار گرفتند. ساعتی و همکار [۷] چند روش را برای رتبه بندی واحدهای به کمک تحلیل پوششی داده‌ها را معرفی کردند. در سال ۱۹۹۵ دویال [۸] میانگین وزن‌های بهینه همه DMU‌ها را به عنوان وزن مشترک انتخاب کرد. در سال ۲۰۱۳ حسین‌زاده و همکاران [۹] برای رسیدن به وزن مشترک از روش برنامه‌ریزی چنددهدفه (MOP) استفاده کردند. در سال ۲۰۰۵ کاثو و هانگ [۱۰] با استفاده از امتیازهای کارآیی محاسبه شده از مدل DEA و کوتاه‌ترین تابع فاصله، بهترین وزن مشترک را برای مدل‌های تحلیل پوششی کلاسیک ارایه دادند. از طرف دیگر در عمل واحدهای تصمیم‌گیری شامل بخش‌های داخلی هستند که هریک از بخش‌ها، ورودی‌هایی را برای تولید خروجی‌هایی به کار می‌گیرند که قسمتی یا همه خروجی تولید شده به صورت ورودی بخش دیگر در داخل واحد برای تولید خروجی اصلی یا ورودی واسطه بکار گرفته می‌شود. برای اولین بار در سال ۱۹۹۶ فار و گروسکف [۱۱] برای چنین واحدهایی عنوان واحدهایی با ساختار شبکه‌ای را نامگذاری کردند. اگر در ارزیابی چنین واحدهایی، از مدل‌های سنتی استفاده شود واحد تحت ارزیابی به عنوان جعبه سیاه به کار گرفته می‌شود که در آن فقط ورودی‌ها و خروجی‌های اصلی در اندازه‌گیری کارآیی به کار گرفته می‌شود و بخش‌های داخلی واحدها در ارزیابی آن‌ها تأثیری ندارد. برای اینکه تأثیر بخش‌های داخلی را در ارزیابی DMU‌ها در نظر گرفته شود باید مدل با ساختار شبکه‌ای طراحی گردد. مدل‌های سنتی را می‌توان برای اندازه‌گیری کارآیی هریک از بخش‌ها به طور مستقل به کار گرفت به طوری که نقش هر یک از شاخص‌های داخلی ورودی و خروجی به صورت مستقل در نظر گرفته شود و تأثیری در سایر بخش‌های مرتبط با آن نداشته باشد. پس در این حالت برای بهبود واحد، خروجی بخش میانی باید از یک طرف افزایش بخشد و از طرف دیگر به خاطر ورودی بخش دیگری است، باید کاهش بخشد. درنهایت نتایج ارزیابی‌ها برای کل واحد نتیجه معنی‌دار نخواهد داشت.

مدل‌های تحلیل پوششی داده‌های شبکه‌ای عموماً به دسته‌های سری، موازی و کلی تقسیم‌بندی می‌شوند. ساختارهایی که بخش‌های آن به صورت سری به هم متصل هستند به مدل‌های شبکه سری معروفند. یکی از پرکاربردترین ساختار شبکه‌ای دو مرحله‌ای است که به طور مثال می‌توان به کارهای کاثو و هانگ [۱۲]، فوکویاما و وبر [۱۳] و تن و تسوتسی [۱۴] اشاره کرد.

مدل‌های شبکه موازی بیانگر رفتار ساختارهای موازی است که در آن بخش‌ها به حالت موازی با هم در ارتباط هستند. در این رابطه می‌توان به مدل فرم مضربی کاثو [۱۵] و مدل‌های مطرح شده توسط تن و تسوتسی [۱۶] و لوزانو [۱۷] به فرم پوششی اشاره کرد. واحدهای تصمیم‌گیری در جهان واقعی وجود

دارد که بخش‌های داخلی آن‌ها مختلط هستند، این نوع واحدها دارای ساختار شبکه‌ای عمومی هستند. کائو مدلش را برای ساختار شبکه‌ای عمومی تعمیم داد. در مقالات ذکر شده کارآیی DMU‌ها مورد بحث قرار گرفته است و تاکنون در زمینه به دست آوردن وزن مشترک در ساختار شبکه‌ای مطالعات محدودی انجام شده است. در مورد وزن‌های مشترک می‌توان به مقاله کائو و هانگ [۸] و یانگ و لی [۱۵] اشاره کرد که هر یک از آن‌ها حالت خاصی در نظر گرفته‌اند. در این مقاله سعی می‌شود مدلی برای ساختار شبکه عمومی ارایه شود. ضمن به دست آوردن وزن یکسان به هر یک از شاخص‌های ورودی، خروجی و واسط در تمامی بخش‌های همه واحدها، امتیاز کارآیی واحدها بیشترین مقدار را داشته باشند.

بخش ۲ به بررسی ادبیات مدل مضربی با ساختار شبکه‌ای و مدل وزن مشترک می‌پردازد. در بخش ۳ مدلی را برای تعیین مجموعه مشترک وزن‌ها در ساختار شبکه‌ای عمومی پیشنهاد می‌گردد. مدل پیشنهادی برای ساختار شبکه‌ای عمومی مجموعه وزن مشترک را به دست آورده و مشکل وجود جواب بهینه چندگانه را حل می‌کند. مثال‌های عددی برای یافتن وزن مشترک در ساختار شبکه‌ای عمومی در بخش ۴ آورده شده است. نهایتاً بخش ۵ تجزیه و تحلیل و نتیجه‌گیری است.

۲ مرواری بر ادبیات

در این بخش کار حسین زاده و همکاران [۷] برای تعیین وزن مشترک و مدل مضربی شبکه‌ای کائو [۱۳] به خاطر استفاده در مدل پیشنهادی یادآوری می‌شود.

۱-۱ تعیین وزن مشترک با استفاده از برنامه‌ریزی چندهدفه

برای تعیین وزن‌های مشترک حسین‌زاده و همکاران در سال ۲۰۱۳ [۷] بهینه‌سازی چندهدفه را برای ارزیابی واحدهای تصمیم‌گیری استفاده کردند. آن‌ها برنامه‌ریزی ریاضی چندهدفه

$$\text{Max} (f_1(x), f_2(x), \dots, f_K(x))$$

s.t.

$$x \in X$$

را در نظر گرفتند که در آن f_1, f_2, \dots, f_K توابع هدف و X ناحیه شدنی است. آن‌ها با الگو قرار دادن مدل فوق، مدل زیر را برای تعیین وزن‌های مشترک همه DMU‌ها جهت حداکثر کردن کارایی همزمان تمامی DMU‌ها معرفی کردند.

$$\text{Max} \left\{ \frac{\sum_{r=1}^s u_r y_{rj}}{\sum_{i=1}^m v_i x_{ij}} \mid j = 1, 2, \dots, n \right\}$$

$$\text{s.t. } \frac{\sum_{r=1}^s u_r y_{rj}}{\sum_{i=1}^m v_i x_{ij}} \leq 1, \quad \forall j;$$

$$u_r, v_i \geq \varepsilon, \quad \forall r, i.$$

که در آن n تعداد DMU ها x_{ij} ورودی ها و y_{rj} خروجی های $i = 1, 2, \dots, m$; $r = 1, 2, \dots, s$; $j = 1, 2, \dots, n$ وزن ورودی ها v_i و وزن خروجی ها u_r هستند. روش‌های زیادی برای حل مساله فوق وجود دارد. برنامه‌ریزی آرمانی یکی از روش‌های حل مسائل بهینه‌سازی چندهدفه است [۱۶].

در روش برنامه‌ریزی آرمانی، تصمیم‌گیرنده مجموعه سطوح آرمانی برای توابع هدف در نظر می‌گیرد؛ بنابراین مجموع انحرافات از این سطوح آرمانی به عنوان تابع هدف مساله برنامه‌ریزی، مینیمم‌سازی می‌شود. پس هرگاه n ; $j = 1, 2, \dots, n$; A_j تابع هدف آرمانی j و φ_j^+ و φ_j^- به ترتیب انحراف منفی (زیردستیابی) و انحراف مثبت (فوق‌دستیابی) به آرمان j DMU باشند آنگاه مدل فوق را براساس مینیمم‌سازی انحراف‌ها می‌توان به فرم زیر نوشت:

$$\text{Min} \sum_{j=1}^n (\varphi_j^- + \varphi_j^+)$$

s.t.

$$\frac{\sum_{r=1}^s u_r y_{rj}}{\sum_{i=1}^m v_i x_{ij}} + \varphi_j^- - \varphi_j^+ = A_j, \quad \forall j, \quad (1a)$$

$$\frac{\sum_{r=1}^s u_r y_{rj}}{\sum_{i=1}^m v_i x_{ij}} \leq 1, \quad \forall j, \quad (1b)$$

$$u_r, v_i \geq \varepsilon, \quad \forall r, i.$$

از طرف دیگر بنا به محدودیت (1b) انحراف مثبت (φ_j^+) نمی‌تواند مقدار مثبتی داشته باشد پس $\varphi_j^+ = 0$. بنابراین با در نظر گرفتن $A_j = 1$ محدودیت (1b) زائد است. مدل حاصل از جایگذاری $\varphi_j^+ = 0$ یک مدل غیرخطی می‌شود و به راحتی قابل تبدیل به برنامه ریزی خطی نیست؛ بنابراین حسین‌زاده و همکاران با استفاده از مفهوم برنامه‌ریزی آرمانی مدل (1) را به شرح زیر خطی‌سازی نمودند.

با توجه به محدودیت (1b) برای رسیدن امتیاز کارایی به آرمان یک، باید صورت کسر افزایش، یا مخرج کسر کاهش و یا به صورت هم زمان صورت کسر افزایش و مخرج کسر کاهش یابد؛ بنابراین برای رسیدن به هدف، مجموع شکاف‌های موجود در صورت کسر (φ_j^+) و مخرج کسر (φ_j^-) را مینیمم نمودند، که مدل زیر حاصل می‌شود.

$$\text{Min} \sum_{j=1}^n (\varphi_j^- + \varphi_j^+)$$

s.t.

$$\frac{\sum_{r=1}^s u_r y_{rj} + \varphi_j^+}{\sum_{i=1}^m v_i x_{ij} - \varphi_j^-} = 1, \quad \forall j, \quad (2a)$$

$$\frac{\sum_{r=1}^s u_r y_{rj}}{\sum_{i=1}^m v_i x_{ij}} \leq 1, \quad \forall j, \quad (2b)$$

$$\varphi_j^+, \varphi_j^- \geq 0, \quad \forall j,$$

$$u_r, v_i \geq \varepsilon, \quad \forall r, i.$$

با توجه به محدودیت (2b)، محدودیت (2a) زائد است و می‌تواند حذف شود؛ لذا با حذف محدودیت (2b) و ساده سازی محدودیت (2a) می‌توان مدل (2) را به صورت زیر خطی کرد:

$$\text{Min} \sum_{j=1}^n (\varphi_j^- + \varphi_j^+)$$

s.t.

$$\sum_{r=1}^s u_r y_{rj} - \sum_{i=1}^m v_i x_{ij} + \varphi_j^+ + \varphi_j^- = 0, \quad \forall j, \quad (3)$$

$$\varphi_j^+, \varphi_j^- \geq 0, \quad \forall j,$$

$$u_r, v_i \geq \varepsilon, \quad \forall r, i.$$

مدل (3) با تغییر متغیر $\varphi_j = \varphi_j^+ + \varphi_j^-$ به صورت مدل زیر تبدیل می‌شود:

$$\text{Min} \sum_{j=1}^n \varphi_j$$

s.t.

$$\sum_{r=1}^s u_r y_{rj} - \sum_{i=1}^m v_i x_{ij} + \varphi_j = 0, \quad \forall j, \quad (4)$$

$$\varphi_j \geq 0, \quad \forall j,$$

$$u_r, v_i \geq \varepsilon, \quad \forall r, i.$$

که در آن φ_j انحراف از آرمان مورد نظر است. مدل فوق مجموعه وزن‌های مشترک را برای مجموعه تمامی واحدهای تصمیم‌گیری به دست می‌آورد. پس با استفاده از مجموعه وزن‌های مشترک به دست آمده از مدل (4) واحدهای تصمیم‌گیری مورد ارزیابی قرار می‌گیرند.

فرض کنید $(u_r^*, v_i^*, \varphi_j^*)$ جواب بهینه مدل (۴) باشد. پس امتیاز کارایی DMU_j به صورت زیر محاسبه می‌شود.

$$E_j = \frac{\sum_{r=1}^s u_r^* y_{rj}}{\sum_{i=1}^m v_i^* x_{ij}}$$

در حالت خاص هرگاه مدل (۴) دارای جواب بهینه چندگانه باشد، آنگاه برای DMU_j امتیاز کارایی‌های متفاوتی بر حسب مجموعه وزن‌های مشترک چندگانه به دست می‌آید. پس ممکن است رتبه‌بندی منحصر به فردی برای واحدهای تصمیم‌گیری به دست نیاید، که در این حالت خواهیم گفت رتبه‌بندی DMU ‌ها پایدار نیست که این یکی از چالش‌های رتبه‌بندی DMU ‌ها در DEA است.

در ادامه بخش ۲ به خاطر این که کار اصلی مقاله در مورد مدل مضربی تحلیل پوششی واحدهای شبکه‌ای است، این مدل از [۱۳] یادآوری می‌شود.

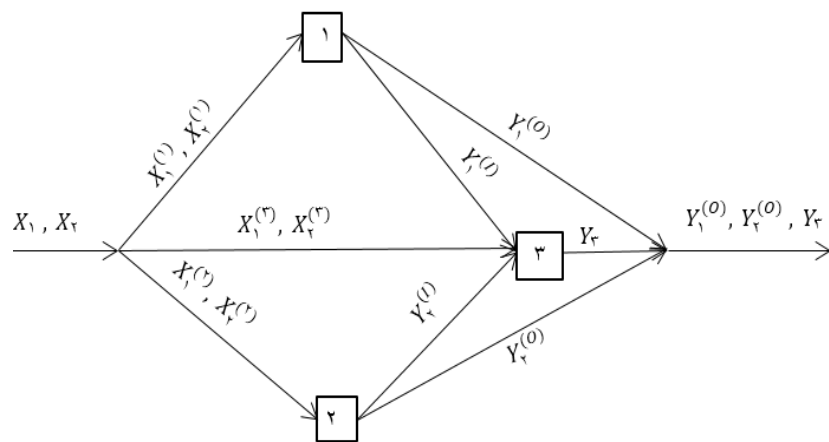
۲-۲ مدل مضربی تحلیل پوششی واحدهای شبکه‌ای

کائو[۱۳] در سال ۲۰۰۹ مدل مضربی تحلیل پوششی واحدهای ساختار شبکه‌ای به صورت گسترده برای حالت‌های سری، موازی و عمومی معروفی نمود. کائو چگونگی تبدیل سیستم با ساختار شبکه‌ای کلی به ساختار دو مرحله‌ای که هر بخش آن دارای ساختار موازی است را نشان داد. ساختار شبکه‌ای عمومی کائو متشکل از سه بخش به صورت شکل (۱) است. ورودی اصلی سیستم X_1 و X_2 و خروجی‌های آن Y_1 ، Y_2 و Y_3 هستند، بخش ۱ برخی مقادیر X_1 و X_2 را جهت تولید Y_1 مصرف می‌کند. قسمتی از Y_1 در بخش ۳ به عنوان ورودی استفاده می‌شود. بخش ۲ مقدار مشخصی از X_1 و X_2 برای تولید Y_2 مصرف می‌کند. بخشی از Y_2 ورودی بخش ۳ است. بخش ۳ باقی‌مانده X_1 و X_2 را همراه با بخش‌هایی از Y_1 و Y_2 تولیدی از بخش‌های ۱ و ۲ را برای تولید Y_3 مصرف می‌کند. فرض کنید $X_{ij}^{(k)}$ و $Y_{rj}^{(k)}$ بترتیب نشان دهنده نامین ورودی و نامین خروجی از بخش k ($k = 1, 2, 3$) در DMU_j باشند. واضح است برای $j = 1, 2, \dots, n$:

$$X_{ij}^{(1)} + X_{ij}^{(2)} + X_{ij}^{(3)} = X_{ij}, \quad \forall i,$$

$$Y_{rj}^{(1)} + Y_{rj}^{(2)} = Y_{rj}, \quad \forall r.$$

لازم به ذکر است که بخش ۳ فقط خروجی نهایی تولید می‌کند.



شکل ۱. سیستم شبکه‌ای با سه فرآیند

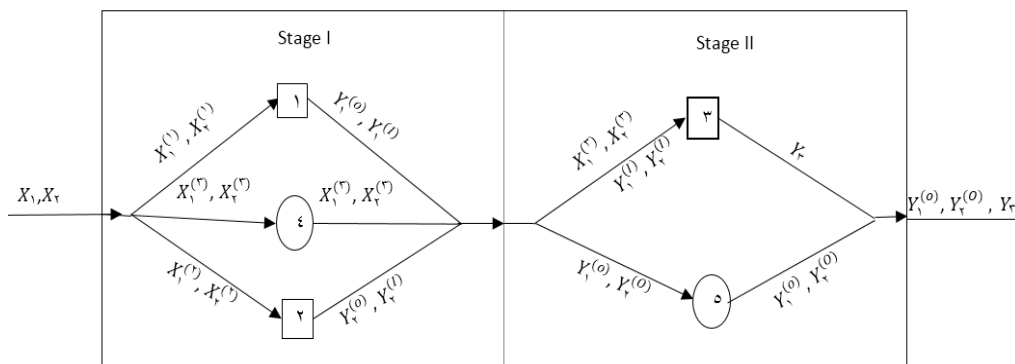
مدل مضربی ساختار شبکه‌ای عمومی شکل (۱) به صورت زیر است:

$$\begin{aligned}
 E_o = & \text{Max } u_1 y_{1o}^{(r)} + u_r y_{ro}^{(r)} + u_v y_{vo} \\
 \text{s.t.} \\
 & v_1 x_{1o} + v_r x_{ro} = 1, \\
 & (u_1 y_{1j}^{(r)} + u_r y_{rj}^{(r)} + u_v y_{vj}^{(r)}) - (v_1 x_{1j} + v_r x_{rj}) \leq 0, \quad \forall j, \\
 & u_1 y_{1j} - (v_1 x_{1j}^{(r)} + v_r x_{rj}^{(r)}) \leq 0, \quad \forall j, \\
 & u_r y_{rj} - (v_1 x_{1j}^{(v)} + v_r x_{rj}^{(v)}) \leq 0, \quad \forall j, \\
 & u_v y_{vj} - (v_1 x_{1j}^{(r)} + v_r x_{rj}^{(r)} + u_1 y_{1j}^{(I)} + u_r y_{rj}^{(I)}) \leq 0, \quad \forall j, \\
 & u_1, u_r, u_v, v_1, v_r \geq \epsilon.
 \end{aligned} \tag{5}$$

که در آن u_r نشان دهنده وزن خروجی اتم ($r = 1, 2, 3$) و v_i وزن ورودی نام ($i = 1, 2$) است که در محاسبه کارآیی واحد تحت ارزیابی DMU_o استفاده می‌شود. دقت شود که وزن‌های حاصل از حل مدل (۵) از یک واحد تصمیم‌گیری به واحد تصمیم‌گیری دیگر متفاوت خواهد بود. پس در این حالت مقایسه واحدهای تصمیم‌گیری با اشکال مواجه می‌شود.

دقت شود که در مدل (۵) وزن ورودی‌ها در هرسه بخش مجزا ثابت است به عنوان مثال v_1 وزن ورودی x_1 در هرسه بخش است، مشابه این در خروجی‌ها هم برقرار است. به عنوان مثال وزن خروجی Y_1 همواره u_1 است و فرقی ندارد که توسط بخش ۳ به عنوان ورودی استفاده شود یا خروجی نهایی واحد تصمیم‌گیری باشد. کائو همچنین نشان داد که هر ساختار شبکه‌ای عمومی را می‌توان با معرفی بخش‌های مصنوعی به ساختار شبکه‌ای دو مرحله‌ای تبدیل کرد که هر مرحله آن دارای ساختار موازی است. به عنوان مثال ساختار شبکه‌ای

عمومی شکل (۱) را به صورت شکل (۲) تبدیل کرد که در آن بخش‌های ۴ و ۵ به عنوان بخش‌های مجازی^۱ معرفی شده‌اند.



شکل ۲. ساختار شبکه‌ای دو مرحله‌ای که هر مرحله آن دارای ساختار موازی است.

فرض کنید $u_1^*, u_r^*, v_1^*, v_r^*$ جواب‌های بهینه مدل (۵) در ارزیابی DMU_o باشند. آنگاه مقادیر کارآیی بخش‌ها در شکل (۱) و مقادیر کارآیی مراحل در شکل (۲) برای DMU_o را می‌توان از روابط زیر محاسبه کرد:

$$E_o^{(1)} = u_1^* Y_{1o} / (v_1^* X_{1o}^{(1)} + v_r^* X_{ro}^{(1)}), \quad (6a)$$

$$E_o^{(r)} = u_r^* Y_{ro} / (v_1^* X_{1o}^{(r)} + v_r^* X_{ro}^{(r)}), \quad (6b)$$

$$E_o^{(r)} = u_r^* Y_{ro} / (v_1^* X_{1o}^{(r)} + v_r^* X_{ro}^{(r)} + u_1^* Y_{1o}^{(I)} + u_r^* Y_{ro}^{(I)}), \quad (6c)$$

$$E_o^I = [u_1^* Y_{1o} + (v_1^* X_{1o}^{(r)} + v_r^* X_{ro}^{(r)}) + u_r^* Y_{ro}] / (v_1^* X_{1o} + v_r^* X_{ro}), \quad (6d)$$

$$E_o^{II} = (u_1^* Y_{1o}^{(O)} + u_r^* Y_{ro}^{(O)} + u_r^* Y_{ro}) / [u_1^* Y_{1o} + (v_1^* X_{1o}^{(r)} + v_r^* X_{ro}^{(r)}) + u_r^* Y_{ro}]. \quad (6e)$$

به طوری که از (۶d) و (۶e) نتیجه می‌شود کارآیی کل DMU_o برابر حاصل ضرب کارآیی‌های دو مرحله است؛
يعنى:

$$E_o = E_o^I \times E_o^{II} \quad (6f)$$

در ارزیابی DMU_o در حالت ساختار شبکه‌ای با مدل (۵) برای هر یک از شاخص‌های ورودی و خروجی، وزن یا اهمیت هر یک از شاخص‌های ورودی و خروجی مختص DMU_o به دست می‌آید که ممکن است با وزن یا اهمیت شاخص‌ها در بقیه DMU ‌ها متفاوت باشد. این چالش وزن مشترک برای هر یک از شاخص‌های ورودی و خروجی برای ساختارهای شبکه‌ای مشابه چالش وزن مشترک در DEA ستی است. پس برای رفع این چالش، مدل مجموعه وزن‌های مشترک در ساختارهای شبکه‌ای پیشنهاد می‌شود.

¹ Dummy

۳ مدل پیشنهادی مجموعه وزن‌های مشترک در ساختارهای شبکه‌ای عمومی

ساختار شبکه‌ای با $j = 1, 2, \dots, n$ واحد تحت ارزیابی را متشکل از $K = 1, 2, \dots, K$ بخش مرتبط با همدیگر را در نظر بگیرید، به عنوان مثال در شکل (۱)، $K = 3$. در حالت کلی هر بخش می‌تواند ورودی‌هایی از سایر بخش‌ها و یا از خارج دریافت کند و آن‌ها را برای تولید خروجی‌هایی که ورودی بخش دیگر است و یا به عنوان خروجی‌های اصلی مصرف کند. فاکتورهایی که بین بخش‌ها رد و بدل می‌شوند، فاکتور واسط و فاکتورهایی که از خارج به واحد وارد می‌شوند ورودی اصلی و فاکتورهایی که به خارج از واحد ارسال می‌شوند، خروجی اصلی گفته می‌شود.

در حالت کلی واحد تصمیم‌گیری با ساختار شبکه‌ای عمومی را می‌توان به شکل (۱) بیان کرد. بنابراین مدل پیشنهادی را روی DMU که دارای ساختاری به شکل (۱) است، بیان می‌شود و بقیه حالت‌ها، حالت خاصی از این خواهد بود. مدل پیشنهادی تعیین مجموعه وزن مشترک در ساختار شبکه‌ای عمومی با توجه به مدل (۵) با هدف مینیم‌سازی مجموع انحراف‌های کارآیی کل واحدهای ارزیابی از مقدار آرمانی، به صورت زیر است:

$$\begin{aligned} \text{Min } & \sum_{j=1}^n \varphi_j \\ \text{s.t. } & \left(u_1 y_{1j}^{(O)} + u_2 y_{2j}^{(O)} + u_3 y_{3j}^{(O)} \right) - \left(v_1 x_{1j} + v_2 x_{2j} \right) + \varphi_j = 0, \quad \forall j, \\ & u_1 y_{1j} - \left(v_1 x_{1j}^{(1)} + v_2 x_{2j}^{(1)} \right) \leq 0, \quad \forall j, \\ & u_2 y_{2j} - \left(v_1 x_{1j}^{(2)} + v_2 x_{2j}^{(2)} \right) \leq 0, \quad \forall j, \\ & u_3 y_{3j} - \left(v_1 x_{1j}^{(3)} + v_2 x_{2j}^{(3)} + u_1 y_{1j}^{(I)} + u_2 y_{2j}^{(I)} \right) \leq 0, \quad \forall j, \\ & \varphi_j \geq 0, \quad \forall j, \\ & u_1, u_2, u_3, v_1, v_2 \geq \varepsilon. \end{aligned} \quad (7)$$

که در آن φ_j مقدار انحراف کارآیی کل j DMU را نشان می‌دهد. هدف در این مدل مینیم‌سازی کردن مجموع انحراف‌های کارآیی کل تمام واحدهای ارزیابی از مقدار آرمانی است مشروط به اینکه حداقل کارآیی واحدها و بخش‌ها یک شود.

حال اگر $(v_r^*, u_i^*, \varphi_j^*)$ جواب بهینه مدل (7) باشد در این صورت امتیاز کارآیی j DMU از رابطه زیر حاصل می‌شود:

$$E_j^* = \frac{\sum_{r=1}^s u_r^* y_{rj}}{\sum_{i=1}^m u_i^* x_{ij}}$$

پس می‌توان DMU ‌ها را براساس امتیازهای کارآیی به دست آمده از فمول فوق رتبه بندی کرد؛ اما در حالتی که مدل (7) دارای جواب بهینه چندگانه برای مجموعه وزن‌های مشترک در ساختار شبکه‌ای مشابه DEA است باشد، برای j DMU امتیازهای کارآیی متفاوتی بر حسب مجموعه وزن‌های مشترک چندگانه حاصل می‌شود.

پس بازای مقادیر مختلف جواب‌های بهینه چندگانه رتبه‌بندی متفاوتی برای DMU ‌ها در ساختار شبکه‌ای مشابه سنتی به دست می‌آید که در این حالت خواهیم گفت رتبه‌بندی DMU ‌ها پایدار نیست. برای رفع این مشکل در این حالت، مساله به یک مساله دو فازی تبدیل می‌شود که فاز اول آن حل مدل (۷) و فاز دوم حل مدل زیر است:

$$\begin{aligned} \text{Max } & \left(u_1 y_{1o}^{(O)} + u_\gamma y_{\gamma o}^{(O)} + u_r y_{ro} \right) / \left(v_1 x_{1o} + v_\gamma x_{\gamma o} \right) \\ \text{s.t. } & \left(u_1 y_{1j}^{(O)} + u_\gamma y_{\gamma j}^{(O)} + u_r y_{rj} \right) - \left(v_1 x_{1j} + v_\gamma x_{\gamma j} \right) + \varphi_j^* = 0, \quad \forall j, \\ & u_1 y_{1j} - \left(v_1 x_{1j}^{(1)} + v_\gamma x_{\gamma j}^{(1)} \right) \leq 0, \quad \forall j, \\ & u_\gamma y_{\gamma j} - \left(v_1 x_{1j}^{(\gamma)} + v_\gamma x_{\gamma j}^{(\gamma)} \right) \leq 0, \quad \forall j, \\ & u_r y_{rj} - \left(v_1 x_{1j}^{(r)} + v_\gamma x_{\gamma j}^{(r)} + u_1 y_{1j}^{(I)} + u_\gamma y_{\gamma j}^{(I)} \right) \leq 0, \quad \forall j, \\ & u_1, u_\gamma, u_r, v_1, v_\gamma \geq \varepsilon. \end{aligned} \quad (8)$$

مدل (۸) یک مدل غیرخطی است. برای راحتی حل می‌توان با استفاده از تغییر متغیرهای $v_1 x_{1o} + v_\gamma x_{\gamma o} = \frac{1}{t}$ و $v_1 x_{1o} + v_\gamma x_{\gamma o} = \varphi_j^* t$ مدل (۸) را به یک مدل خطی تبدیل کرد. پس با جایگذاری مدل خطی زیر را خواهیم داشت:

$$\begin{aligned} \text{Max } & u'_1 y_{1o}^{(O)} + u'_\gamma y_{\gamma o}^{(O)} + u'_r y_{ro} \\ \text{s.t. } & v'_1 x_{1o} + v'_\gamma x_{\gamma o} = 1, \quad \forall j, \\ & \left(u'_1 y_{1j}^{(O)} + u'_\gamma y_{\gamma j}^{(O)} + u'_r y_{rj} \right) - \left(v'_1 x_{1j} + v'_\gamma x_{\gamma j} \right) + \varphi_j = 0, \quad \forall j, \\ & u'_1 y_{1j} - \left(v'_1 x_{1j}^{(1)} + v'_\gamma x_{\gamma j}^{(1)} \right) \leq 0, \quad \forall j, \\ & u'_\gamma y_{\gamma j} - \left(v'_1 x_{1j}^{(\gamma)} + v'_\gamma x_{\gamma j}^{(\gamma)} \right) \leq 0, \quad \forall j, \\ & u'_r y_{rj} - \left(v'_1 x_{1j}^{(r)} + v'_\gamma x_{\gamma j}^{(r)} + u'_1 y_{1j}^{(I)} + u'_\gamma y_{\gamma j}^{(I)} \right) \leq 0, \quad \forall j, \\ & \varphi_j \geq \varepsilon, \quad \forall j, \\ & u'_1, u'_\gamma, u'_r, v'_1, v'_\gamma \geq \varepsilon. \end{aligned} \quad (9)$$

قضیه زیر نشان می‌دهد در به دست آوردن مجموعه وزن مشترک در حالت وجود جواب‌های بهینه چندگانه بجای حل مدل غیرخطی (۸) می‌توان مدل خطی (۹) را برای به کار برد.

قضیه ۱:

الف) متناظر با هر جواب شدنی مدل (۸) برای مدل (۹) جوابی وجود دارد و برعکس.

ب) مقدار بهینه هر دومدل (۸) و (۹) باهم برابرند.

اثبات:

الف) فرض کنید $v, u \in S_1$ و v, u بترتیب فضاهای جواب شدنی مدل‌های (۸) و (۹) باشند. فرض کنید $v, u \in S_1$ جواب شدنی مدل (۸) باشد. پس می‌توان مخرج کسر تابع هدف در مدل (۸) را بازای این جواب شدنی برابر با $v, x_{1o} + v, x_{2o} = k$ فرض کرد؛ یعنی

پس با فرض $v, u \in S_1$ با توجه به $v' = \frac{1}{k}v, u' = \frac{1}{k}u$ ، $\varphi_j^* = \frac{\varphi_j}{k}$ ؛ $\forall j$ جواب شدنی مدل (۸) خواهیم داشت: بردار (v', u', φ') جواب شدنی مدل (۹) است. پس بازای $v, u \in S_1$ یک جواب شدنی مانند (v', u', φ') برای مدل (۹) وجود دارد.

حال فرض کنید $v, u \in S_1$ جواب شدنی دلخواه مدل (۹) باشد. در این صورت با توجه به مثبت بودن اسکالر φ و با فرض $v = kv', u = ku'$ ، $k = \frac{\varphi_o^*}{\varphi}$ در تمام محدودیت‌های مدل (۸) صدق می‌کند. پس $v, u \in S_1$ یک جواب شدنی متناظر مدل (۸) خواهد بود.

ب) فرض کنید $v^*, u^* \in S_1$ جواب بهینه مدل (۸) باشد که متناظر با این جواب خواهیم داشت:

$(v^*, u^*, \varphi^*) \in S_1$. پس بازیگر نشان داده شود که $v^* = v^*x_{1o} + v^*x_{2o}$ و $\theta^* = \frac{u^*_1 y_{1o}^{(o)} + u^*_1 y_{2o}^{(o)} + u^*_2 y_{2o}^{(o)}}{v^*x_{1o} + v^*x_{2o}}$ جواب بهینه مدل (۹) با مقدار بهینه $\tilde{v}, \tilde{u}, \varphi$ است.

هرگاه فرض شود $v^* = \frac{1}{k^*}v^*, u^* = \frac{1}{k^*}u^*$ ، $\varphi^* = \frac{\varphi_j^*}{k^*}$ در تمام محدودیت‌های مدل (۹) صدق می‌کند. پس $v^*, u^*, \varphi^* \in S_1$ جواب بهینه مدل (۹) بازیگر نشان داده شود که $\tilde{v}, \tilde{u}, \varphi$ موجود باشد به طوری که

$$u_1 y_{1o}^{(o)} + u_2 y_{2o}^{(o)} + u_3 y_{2o}^{(o)} > \theta^*$$

از $\tilde{v}_1 x_{1o} + \tilde{v}_2 x_{2o} = 1$ داریم: $\tilde{v}, u, \varphi \in S_1$ پس

$$\frac{u_1 y_{1o}^{(o)} + u_2 y_{2o}^{(o)} + u_3 y_{2o}^{(o)}}{v_1 x_{1o} + v_2 x_{2o}} > \theta^* \quad (10)$$

از طرف دیگر از $\tilde{v}, u, \varphi \in S_1$ نتیجه می‌شود $(\tilde{v}, u, \varphi) \in S_1$ ، که مقدار تابع هدف مدل (۸) متناظر با این

جواب به صورت $\theta = \frac{\tilde{u}_1 y_{1o}^{(o)} + \tilde{u}_2 y_{2o}^{(o)} + \tilde{u}_3 y_{2o}^{(o)}}{\tilde{v}_1 x_{1o} + \tilde{v}_2 x_{2o}}$ می‌شود. پس از رابطه (۱۰) نتیجه می‌شود $\theta > \theta^*$ ، که این

هم با بهینگی $v^*, u^*, k^* \varphi_j^* \in S$ در تناقض است؛ لذا فرض خلف باطل و $\frac{1}{k^*} (v^*, u^*, k^* \varphi_j^*) \in S$ جواب بهینه مدل (۹) با مقدار بهینگی θ^* است.

به طور مشابه ثابت می‌شود اگر $v^*, u^*, t^* \varphi^* \in S$ جواب بهینه مدل (۹) با مقدار بهینگی θ^* باشد، آنگاه $\frac{1}{k^*} \frac{\varphi_j^*}{\varphi^*} (v^*, u^*) \in S$ جواب بهینه مدل (۸) با مقدار بهینگی θ^* خواهدبود. درنتیجه مقدار بهینه هر دو مدل (۸) و (۹) باهم برابرند. \square

از طرف دیگر بردار $(v, u, \varphi) = (0, 0, 0)$ در چهار محدودیت اول مدل (۷) صدق می‌کند. پس با توجه به محدودیت پنجم و تابع هدف، جواب بهینه وزن‌ها می‌تواند نزدیک به صفر به دست آید. از طرف دیگر با توجه به حافظه محدود کامپیوترها جواب‌ها شدیداً به مقدار اپسیلون وابسته هستند و بعضی مواقع بدلیل انتشار خطای جواب‌های نامعقول حاصل می‌شود.

برای به دست آوردن مقدار مناسب ϵ در ساختار شبکه‌ای عمومی، مدل طلوع [۱۷] توسط پورمحمد و زینالی [۱۸] به ساختار شبکه‌ای عمومی به صورت مدل (۱۱) تعمیم داده می‌شود. در این مقاله برای جلوگیری از انتخاب نامناسب ϵ مقدار بهینه مدل (۱۱) را در مدل‌های (۷) تا (۹) استفاده می‌شود.

$$\text{Max } \epsilon$$

s.t.

$$\begin{aligned} v_i x_{ij} + v_r x_{rj} &\leq 1, & \forall j, \\ (u_i y_{ij}^{(o)} + u_r y_{rj}^{(o)} + u_r y_{rj}) - (v_i x_{ij} + v_r x_{rj}) &\leq 0, & \forall j, \\ u_i y_{ij} - (v_i x_{ij}^{(r)} + v_r x_{rj}^{(r)}) &\leq 0, & \forall j, \\ u_r y_{rj} - (v_i x_{ij}^{(r)} + v_r x_{rj}^{(r)} + u_i y_{ij}^{(I)} + u_r y_{rj}^{(I)}) &\leq 0, & \forall j, \\ u_r - \epsilon &\geq 0, & r = 1, 2, 3, \\ v_i - \epsilon &\geq 0, & i = 1, 2. \end{aligned} \quad (11)$$

با توجه به اینکه $v_i = \frac{1}{x_{ij} + x_{rj}}$ در تمام محدودیتهای مدل (۱۱) صدق می‌کند؛ لذا

مدل (۱۱) شدنی بوده و با توجه به نوع تابع هدف خواهیم داشت: $\epsilon \geq 0$. همچنین اگر طرفین محدودیت آخر مدل (۱۱) را در x_{ij} بازای $i = 1, 2$ ضرب و روی j جمع بیندیم با توجه به محدودیت اول مدل (۱۱) خواهیم

داشت: رابطه $\frac{1}{x_{ij} + x_{rj}} \leq \epsilon$ نتیجه می‌شود. پس همواره در نتیجه همواره مدل (۱۱) جواب بهینه متناهی دارد.

تذکر: در تمامی مدل‌ها بجای ϵ از مقدار بهینه مدل (۱۱) یعنی ϵ^* استفاده خواهد شد. به عنوان مثال محدودیت پنجم مدل (۷) به شکل زیر نوشته خواهد شد:

$$u_1, u_2, u_3, v_1, v_2 \geq \epsilon^*, \varphi_j \geq 0; \forall j.$$

دقت شود هرگاه در محاسبه کارآیی کلی و کارآیی بخش‌ها، از جواب بهینه مدل (۱۱) استفاده شود آنگاه حاصل از مدل‌ها اندکی متفاوت با جواب‌های کائو خواهد شد؛ بنابراین استفاده از مدل (۱۱) دقیق محاسبه کارآیی را بیشتر می‌کند.

۴ مثال عددی

برای نشان دادن عملکرد مدل پیشنهادی، دو مثال کائو [۱۳] و [۱۰] بکار گرفته می‌شود. مثال اول، مثالی ساده شامل ۵ واحد تصمیم‌گیری A,B,C,D,E با سه بخش واسط است که ساختار آن در شکل (۱) نشان داده شده است. مثال دوم یک مطالعه موردنی کائو روی ۲۴ شرکت بیمه تایوان است که هر کدام از واحدهای تصمیم‌گیری دارای دو بخش واسط هستند.

مثال ۱. پنج واحد تصمیم‌گیری A,B,C,D,E با سه بخش واسط را در نظر بگیرید که ساختار هر یک از آن‌ها به صورت شکل (۱) هستند [۱۳]. داده‌های دو ورودی اصلی و سه خروجی اصلی و واسط در جدول (۱) لیست شده‌اند.

جدول ۱. داده‌های ورودی و خروجی مثال کائو در سال ۲۰۰۹

DMU	Process	x_1	x_2	$y_1^{(o)}$	$y_1^{(I)}$	$y_2^{(o)}$	$y_2^{(I)}$	y_3
A	۱	۱۱	۱۴	۲	-	۲	-	۱
	۲	۳	۵	۲	۲	-	-	-
	۳	۴	۳	-	-	۲	۱	-
	۴	۴	۶	-	۲	-	۱	۱
B	۱	۷	۷	۱	-	۱	-	۱
	۲	۲	۳	۱	۱	-	-	-
	۳	۲	۱	-	-	۱	۱	-
	۴	۳	۳	-	۱	-	۱	۱
C	۱	۱۱	۱۴	۱	-	۱	-	۲
	۲	۳	۴	۱	۱	-	-	-
	۳	۵	۳	-	-	۱	۱	-
	۴	۳	۷	-	۱	-	۱	۲
D	۱	۱۴	۱۴	۲	-	۳	-	۱
	۲	۴	۶	۲	۱	-	-	-
	۳	۵	۵	-	-	۳	۱	-
	۴	۵	۳	-	۱	-	۱	۱
E	۱	۱۴	۱۵	۳	-	۲	-	۳
	۲	۵	۶	۳	۱	-	-	-
	۳	۵	۴	-	-	۲	۲	-
	۴	۴	۵	-	۱	-	۲	۳

برای داده‌های جدول (۱) مدل (۱۴) اجرا شده تا مقدار اپسیلون بهینه محاسبه شود که عبارت است از:

$$\epsilon = 0.344828$$

حال اگر مدل (۱۰) برای داده‌های جدول (۱) اجرا شود، مجموعه وزن مشترک به دست می‌آید. نتایج اجرای مدل کائو و مدل (۱۰) برای به دست آوردن وزن‌ها در جدول (۲) لیست شده‌اند. در جدول (۲) سطرهای دوم الی ششم وزن شاخص‌ها برای هر یک از واحدها محاسبه شده از مدل شبکه‌ای کائو و سطر آخر وزن مشترک هریک از شاخص‌ها محاسبه شده از مدل (۱۰) را نشان می‌دهد.

جدول ۲. وزن‌های محاسبه شده از طریق مدل کائو و مدل (۱۰)

DMU	v_1	v_2	w_1	w_2	w_4
A	0.0470219	0.0344828	0.0783699	0.0642633	0.1891327
B	0.0344828	0.1083744	0.1613300	0.0886700	0.3394910
C	0.0470219	0.0344828	0.0783699	0.0642633	0.1891327
D	0.0369458	0.0344828	0.0708128	0.0541872	0.1664614
E	0.0344828	0.0344828	0.0689655	0.0517241	0.9/16.09195
CWS	0.0714280	0/.....05	0.0535717	0.0714283	0.0535717

مقادیر کارآبی کل واحدهای تصمیم‌گیری با استفاده از مدل CCR سنتی، مدل کائو و مدل پیشنهادی (۱۰) به همراه رتبه بندی آنها در جدول (۳) آورده شده است. ستون‌های دوم، سوم و پنجم مقادیر کارآبی کل واحدهای تصمیم‌گیری به ترتیب با مدل‌های CCR سنتی، مدل کائو و مدل پیشنهادی و ستون‌های چهارم و ششم جدول رتبه هریک از واحدها را به ترتیب با مدل‌های کائو و مدل پیشنهادی نشان می‌دهد.

جدول ۳. مقایسه کارآبی‌های پنج DMU محاسبه شده توسط مدل‌های CCR سنتی، کائو و مدل پیشنهادی

DMU	E_CCR	EN_kao	Rank-Kao	EN_csw	Rank-ON-CSW
A	1	0.5227	4	0.4657	5
B	0.8980	0.5952	2	0.5833	2
C	0.8485	0.5682	3	0.5133	3
D	1	0.4821	5	0.4702	4
E	1	0.8	1	0.7931	1

مقادیر کارآبی بخش‌های ۱، ۲ و ۳، مرحله‌های ۱ و ۲ از پنج واحد مورد ارزیابی بر حسب مدل کائو و مدل (۱۰) در جدول (۴) آورده شده است. به طوری که ملاحظه می‌شود با اعمال مجموعه وزن مشترک رتبه‌های DMU_D و DMU_A نسبت به رتبه حاصل از امتیازهای کارآبی ساختار شبکه‌ای کائو جایه جا شده‌اند که نتیجه اعمال مجموعه وزن‌های مشترک برای ارزیابی واحدهای تحت ارزیابی است. همچنین با توجه به محاسبه اپسیلون با استفاده از مدل (۱۴) مقادیر حاصل برای کارآبی‌های CCR مدل شبکه‌ای اندکی با جواب کائو [۱۳] متفاوت است، از جمله در مدل CCR، DMU_A دارای مقدار کارآبی یک بوده و از نظر این مدل‌ها واحد

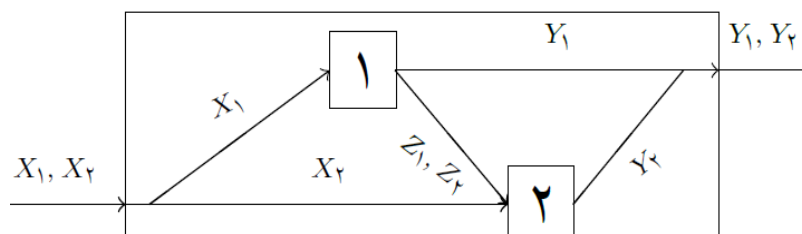
کاراست. ولی اگر با مقدار اپسیلون حاصل از مدل (۱۴)، مدل CCR اجرا شود مقدار کارآیی DMU_A برابر با 0.9266 به دست می‌آید و جزو واحدهای ناکارآخواهد شد.

جدول ۴. مقدار کارآیی‌های بخش‌ها و مرحله‌ها بر حسب مدل کائو و مدل (۷)

DMU	Process efficiency of kao			Stage efficiency by Kao			Process efficiency by csw			Stage efficiency by CSW		
	E ₁	E ₂	E ₃	E_S ₁	E_S ₂	E ₁	E ₂	E ₃	E_S ₁	E_S ₂		
A	1/....	.0.75	.0.7462	.0.901	.0.5750	1/....	.0.6429	.0.3011	.0.9000	.0.5185		
B	.0.8333	1/....	.0.5088	.0.9286	.0.6410	.0.8000	1/....	.0.4912	.0.9286	.0.6282		
C	.0.5	.0.4	.0.9474	.0.5909	.0.9615	.0.5714	.0.4750	.0.6914	.0.6800	.0.7549		
D	.0.5625	.0.8	.0.3333	.0.8036	.0.6	.0.6000	.0.6000	.0.4058	.0.7143	.0.6583		
E	.0.8333	.0.5	1/....	.0.8	1/....	.0.7273	.0.6667	1/....	.0.7931	1/....		

همچنین از ستون‌های E_S_1 و E_S_2 مربوط به نتایج کائو و مدل پیشنهادی از جدول ۴ و ستون سوم و پنجم جدول ۳ بترتیب، برقراری رابطه (6.f) در هر دو مدل نشان داده می‌شود.

مثال ۲: تعداد ۲۴ شرکت بیمه تایوانی را از مقاله کائو [۱۰] را در نظر بگیرید که هریک از واحدهای دو ورودی X_1, X_2 به همراه دو محصول واسط Z_1, Z_2 خروجی‌های Y_1, Y_2 را تولید می‌کند شکل (۳).



شکل ۳. ساختار شبکه‌ای هر یک از شرکت‌های بیمه

همان طوری که در شکل (۳) مشخص است در هریک از واحدهای اول ورودی‌های X_1 را گرفته و خروجی‌های Y_1, Y_2 را تولید و بخش دوم ورودی‌های Z_1, Z_2, X_2 را مصرف می‌کند تا خروجی Y_1, Y_2 را تولید کند. اطلاعات مربوط به هر یک از ۲۴ شرکت بیمه‌ای در جدول ۵ لیست شده‌اند.

جدول ۵. داده‌های ورودی و خروجی ۲۴ شرکت بیمه تایوانی

DMU	X ₁	X ₂	Z ₁	Z ₂	Y ₁	Y ₂
DMU1	1178744	673512	7451757	856735	984143	681687
DMU2	1381822	1352755	10020274	1812894	1228502	834754
DMU3	1177494	592790	4776548	560244	292613	658428
DMU4	601320	594259	3174851	371863	248709	177331
DMU5	6699063	3531614	37392862	1753794	7851229	3925272
DMU6	2627707	668363	9747908	952326	1713598	415058

DMU	X ₁	X ₂	Z ₁	Z ₂	Y ₁	Y ₂
DMU۷	۱۹۴۲۸۲۳	۱۴۴۳۱۰۰	۱۰۶۸۵۴۵۷	۶۴۳۴۱۲	۲۲۳۹۵۹۳	۴۳۹۰۳۹
DMU۸	۳۷۸۹۰۰۱	۱۸۷۳۵۲۰	۱۷۲۶۷۲۶۶	۱۱۳۴۶۰۰	۳۸۹۹۵۳۰	۶۲۲۸۶۸
DMU۹	۱۵۶۷۷۴۶	۹۵۰۴۳۲	۱۱۴۷۳۱۶۲	۵۴۶۳۳۷	۱۰۴۳۷۷۸	۲۶۴۰۹۸
DMU۱۰	۱۳۰۳۲۴۹	۱۲۹۸۴۷۰	۸۲۱۰۳۸۹	۵۰۴۵۲۸	۱۶۹۷۹۴۱	۵۵۴۸۰۶
DMU۱۱	۱۹۶۲۴۴۸	۶۷۲۴۱۴	۷۲۲۲۳۷۸	۶۴۳۱۷۸	۱۴۸۶۰۱۴	۱۸۲۵۹
DMU۱۲	۲۵۹۲۷۹۰	۶۵۰۹۵۲	۹۴۳۴۴۰۶	۱۱۱۸۴۸۹	۱۵۷۴۱۹۱	۹۰۹۲۹۵
DMU۱۳	۲۶۰۹۹۴۱	۱۳۶۸۰۲	۱۳۹۲۱۴۶۴	۸۱۱۳۴۳	۳۶۰۹۲۳۶	۲۲۳۰۴۷
DMU۱۴	۱۳۹۶۰۰۲	۹۸۸۸۸	۷۳۹۶۳۹۶	۴۶۵۵۰۹	۱۴۰۱۲۰۰	۳۳۲۲۸۳
DMU۱۵	۲۱۸۴۹۴۴	۶۵۱۰۶۳	۱۰۴۲۲۲۹۷	۷۴۹۸۹۳	۳۳۵۰۱۹۷	۵۵۵۴۸۲
DMU۱۶	۱۲۱۱۷۱۶	۴۱۵۰۷۱	۵۶۰۶۰۱۳	۴۰۲۸۸۱	۸۵۴۰۵۴	۱۹۷۹۴۷
DMU۱۷	۱۴۵۳۷۹۷	۱۰۸۵۰۱۹	۷۶۹۵۴۶۱	۳۴۲۴۸۹	۳۱۴۴۴۸۴	۳۷۱۹۸۴
DMU۱۸	۷۵۷۵۱۵	۵۴۷۹۹۷	۳۶۳۱۴۸۴	۹۹۵۶۲۰	۶۹۲۷۳۱	۱۶۳۹۲۷
DMU۱۹	۱۵۹۴۲۲	۱۸۲۳۳۸	۱۱۴۱۹۵۰	۴۸۳۲۹۱	۵۱۹۱۲۱	۴۶۸۰۷
DMU۲۰	۱۴۵۴۴۲	۵۳۵۱۸	۳۱۶۸۲۹	۱۳۱۹۲۰	۳۵۵۶۲۴	۲۶۵۳۷
DMU۲۱	۸۴۱۷۱	۲۶۲۲۴	۲۲۵۸۸۸	۴۰۵۴۲	۵۱۹۵۰	۶۴۹۱
DMU۲۲	۱۵۹۹۳	۱۰۵۰۲	۵۲۰۶۳	۱۴۵۷۴	۸۲۱۴۱	۴۱۸۱
DMU۲۳	۵۴۶۹۳	۲۸۴۰۸	۲۴۵۹۱۰	۴۹۸۶۴	.۱	۱۸۹۸۰
DMU۲۴	۱۶۳۲۹۷	۲۳۵۰۹۴	۴۷۶۴۱۹	۶۴۴۸۱۶	۱۴۲۳۷۰	۱۶۹۷۶

برای داده‌های جدول ۵ مقدار اپسیلون محاسبه شده از مدل (۱۱) برابر است با $\varepsilon^* = 1/0.4573e-8$.

حال اگر مدل (۷) را با ε^* بدست آمده فوق، روی داده‌های جدول ۵ اجرا شود، مجموعه وزن مشترک شاخص‌ها به صورت جدول ۶ به دست می‌آیند.

جدول ۶: مجموعه وزن مشترک حاصل از مدل (۷)

V _۱	V _۲	W _۱	W _۲	U _۱	U _۲
۲/۱۳۳۴e-۷	۱/۰۴۶e-۸	۱/۰۴۶e-۸	۱/۰۴۶e-۸	۱/۰۴۶e-۸	۱/۰۳۴۶e-۷

همان طوری که در متن مقاله اشاره شده است، انتظار نزدیک به صفر برای وزن‌ها وجود دارد، در جدول ۶ ملاحظه می‌شود چهار وزن شاخص‌ها از شش وزن شاخص‌ها نزدیک مقدار ε^* حاصل شده است. با استفاده از جدول ۶ می‌توان مقادیر کارآیی واحدها را به دست آورد که این مقادیر به همراه مقادیر کارآیی حاصل از CCR ستی و مدل کائو با رتبه‌بندی واحدها در جدول ۷ آورده شده است.

جدول ۷: مقادیر کارآیی مدل‌های CCR ستی، مدل کائو و مدل (۷)

DMU	E_CCR	R_CCR	E_Kao	R_Kao	E_ON_CSW	R_ON-CSW
DMU۱	۰/۹۸۴	۶	۰/۹۶۲	۴	۰/۴۷۷	۵
DMU۲	۱/۰۰۰	۱-۱	۱/۰۰۰	۱-۱	۰/۳۰۱	۹
DMU۳	۰/۹۸۸	۵	۰/۹۳۶	۵	۰/۴۷۳	۶

DMU	E_CCR	R_CCR	E_Kao	R_Kao	E_ON_CSW	R_ON-CSW
DMU۴	.۰/۴۸۸	۱۴	.۰/۴۸۸	۱۱	.۰/۱۴۵	۲۲
DMU۵	۱/۰۰۰	۱-۲	.۰/۹۷۹	۳	.۰/۵۴۶	۲
DMU۶	.۰/۵۹۴	۱۳	.۰/۳۹۰	۱۴	.۰/۳۳۲	۸
DMU۷	.۰/۴۷۰	۱۶	.۰/۳۷۴	۱۶	.۰/۱۹۳	۱۷
DMU۸	.۰/۴۱۵	۱۹	.۰/۲۹۵	۲۰	.۰/۲۲۱	۱۵
DMU۹	.۰/۳۲۷	۲۲	.۰/۲۸۰	۲۲	.۰/۱۶۱	۲۱
DMU۱۰	.۰/۷۸۱	۱۰	.۰/۷۰۵	۹	.۰/۲۳۷	۱۳
DMU۱۱	.۰/۲۸۳	۲۳	.۰/۲۸۳	۲۱	.۰/۰۹۸	۲۳
DMU۱۲	۱/۰۰۰	۱-۳	.۰/۷۱۴	۸	.۰/۶۱۸	۱
DMU۱۳	.۰/۳۵۳	۲۰	.۰/۳۳۷	۱۸	.۰/۱۷۵	۱۹
DMU۱۴	.۰/۴۷۰	۱۷	.۰/۳۹۴	۱۵	.۰/۲۰۰	۱۶
DMU۱۵	.۰/۹۷۹	۷	.۰/۷۳۷	۷	.۰/۵۳۰	۳
DMU۱۶	.۰/۴۷۲	۱۵	.۰/۳۲۱	۱۹	.۰/۲۶۹	۱۱
DMU۱۷	.۰/۶۳۵	۱۱	.۰/۴۲۷	۱۳	.۰/۲۶۶	۱۲
DMU۱۸	.۰/۴۲۷	۱۸	.۰/۳۵۸	۱۷	.۰/۱۷۸	۱۸
DMU۱۹	.۰/۸۲۲	۹	.۰/۴۸۷	۱۲	.۰/۲۳۲	۱۴
DMU۲۰	.۰/۹۳۵	۸	.۰/۸۵۰	۶	.۰/۴۶۱	۷
DMU۲۱	.۰/۳۳۳	۲۱	.۰/۲۶۸	۲۳	.۰/۱۷۴	۲۰
DMU۲۲	۱/۰۰۰	۱-۴	۱/۰۰۰	۱-۲	.۰/۴۹۳	۴
DMU۲۳	.۰/۵۹۹	۱۲	.۰/۵۸۰	۱۰	.۰/۲۷۳	۱۰
DMU۲۴	.۰/۲۵۷	۲۴	.۰/۱۷۲	۲۴	.۰/۰۵۷	۲۴

براساس نتایج جدول ۷ ملاحظه می شود $DMU_{۲۲}$ در مدل CCR سنتی کارآیی هستند، درصورتی که در مدل شبکه ای کائو فقط $DMU_{۲۲}$ مقدار کارآیی یک دارد ولی با مدل (۱۰) واحدی با مقدار کارآیی یک وجود ندارد. همچنین رتبه $DMU_{۱۵}$ در مدل (۱۰) نسبت به دو مدل شبکه ای کائو و CCR سنتی ارتقای چشمگیری داشته است. $DMU_{۲۴}$ در مدل های CCR سنتی، شبکه ای کائو و مدل (۱۰) پایین ترین مقدار کارآیی و رتبه را دارد.

برای مقایسه بهتر واحدها کارآیی بخش ها و مراحل نیز محاسبه می شود جدول ۸ نشان دهنده نتایج مدل های مربوطه است.

جدول ۸ کارآیی بخش ها و مرحله ها

DMUs	Process Eff. Of Kao		Stage Eff. Of Kao		Process Eff. Of CSW		Stage Eff. Of CSW	
	۱	۲	I	II	۱	۲	I	II
DMU۱	.۰/۷۵۲	.۰/۹۷۴	.۰/۹۶۲	.۰/۹۷۴	.۰/۶۱۸	.۰/۷۱۱	.۰/۶۴۶	.۰/۷۳۸
DMU۲	۱/۰۰۰	۱/۰۰۰	۱/۰۰۰	۱/۰۰۰	.۰/۴۳۳	.۰/۶۲۵	.۰/۴۵۸	.۰/۶۰۷
DMU۳	.۰/۵۵۳	.۰/۹۵۳	.۰/۹۸۱	.۰/۹۵۳	.۰/۴۲۶	۱/۰۰۰	.۰/۴۷۳	۱/۰۰۰
DMU۴	۱/۰۰۰	.۰/۴۸۸	۱/۰۰۰	.۰/۴۸۸	.۰/۲۸۶	.۰/۴۲۳	.۰/۳۱۷	.۰/۴۵۶

DMUs	Process Eff. Of Kao		Stage Eff. Of Kao		Process Eff. Of CSW		Stage Eff. Of CSW	
	I	II	I	II	I	II	I	II
DMU ₅	.0/505	1/000	.0/979	1/000	.0/596	0/847	.0/628	0/869
DMU ₆	.0/407	0/736	.0/324	0/736	.0/832	.0/308	.0/858	0/387
DMU ₇	.0/374	1/000	.0/374	1/000	.0/421	.0/327	.0/454	0/424
DMU ₈	.0/619	0/478	.0/262	0/478	.0/533	.0/278	.0/572	0/386
DMU ₉	.0/600	0/287	.0/285	0/977	.0/616	.0/192	.0/642	0/250
DMU ₁₀	1/000	.0/705	.0/705	1/000	.0/359	.0/548	.0/387	0/613
DMU ₁₁	.0/283	1/000	.0/283	1/000	.0/623	.0/018	.0/667	0/147
DMU ₁₂	1/000	.0/696	1/000	.0/714	.0/835	.0/684	.0/860	0/718
DMU ₁₃	.0/337	1/000	.0/337	1/000	.0/601	.0/127	.0/632	0/278
DMU ₁₄	1/000	.0/394	1/000	.0/394	.0/420	.0/355	.0/454	0/440
DMU ₁₅	1/000	.0/387	1/000	.0/737	1/000	.0/411	1/000	.0/530
DMU ₁₆	.0/621	0/287	.0/621	.0/516	.0/741	.0/271	.0/771	0/348
DMU ₁₇	.0/486	0/438	.0/920	.0/465	.0/462	.0/388	.0/492	.0/540
DMU ₁₈	1/000	.0/358	1/000	.0/358	.0/435	.0/301	.0/468	0/381
DMU ₁₉	1/000	.0/487	1/000	.0/487	.0/527	.0/260	.0/545	0/427
DMU ₂₀	.0/850	1/000	.0/850	1/000	.0/674	.0/442	.0/709	0/601
DMU ₂₁	.0/450	0/208	.0/450	.0/595	.0/544	.0/183	.0/601	0/289
DMU ₂₂	1/000	1/000	1/000	1/000	.0/635	.0/501	.0/658	0/750
DMU ₂₃	.0/814	0/585	.0/992	.0/585	.0/467	.0/536	.0/509	.0/536
DMU ₂₄	1/000	.0/172	1/000	.0/172	.0/241	.0/131	.0/264	0/217

همان‌طوری که در رابطه (f.6) بیان شده، از حاصل ضرب کارآبی مرحله‌ها، کارآبی کل واحد تصمیم‌گیری حاصل می‌شود. این مطلب در مورد نتایج مدل پیشنهادی (10) برقرار است. برای بررسی می‌توان ستون‌های هشتم و نهم جدول ۸ را درهم ضرب کرده و با مقادیر کارآبی کل در جدول ۶ مقایسه کرد؛ ولی رابطه (f.6) در مورد نتایج کائو برقرار نیست. به عنوان مثال در جدول ۷ کارآبی کل DMU_{19} برابر $0/390$ است؛ ولی حاصل ضرب کارآبی مرحل برابر است با $0/238464 = 0/238464 \times 0/324 = 0/736$ ، که با کارآبی کل DMU_{19} برابر نیست. بهترین جواب و زمان اجرا را مورد ارزیابی قرار داده است که نتایج در جدول (۴) و (۵) و شکل (۱) قابل مشاهده می‌باشد.

۵ نتیجه‌گیری

تحلیل پوششی داده‌های سنتی و شبکه‌ای برای ارزیابی واحدهای تصمیم‌گیری سعی می‌کند بیشترین مقدار کارآبی را برای واحد تحت ارزیابی به دست آورد. در این حالت معمولاً ارزش یا وزن هریک از شاخص‌ها از یک واحد به واحد دیگر متفاوت است، که یکی از چالش‌های تحلیل پوششی داده‌ها در ارزیابی واحدهاست. در این مقاله سعی شد با ارایه مدل (10) مشکل چند ارزشی شاخص‌ها با مجموعه وزن مشترک حل شود. همچنین با

داشتن مجموعه وزن مشترک برای ساختارهای شبکه‌ای عمومی می‌توان واحدهای تصمیم‌گیری را رتبه‌بندی نمود به طوری که رتبه‌بندی همواره پایدار باشد. درنهایت برتری مدل پیشنهادی را نسبت به مدل‌های قبلی روی مثال‌های عددی نشان داده شد.

منابع

- [۱] ساعی، ص، شایسته، ع، (۱۳۹۱). چند روش برای رتبه‌بندی واحدهای تصمیم‌گیری به کمک مجموعه مشترک وزن‌ها در تحلیل پوششی داده‌ها. مجله تحقیق در عملیات در کاربردهای آن، ۵۲ (۱)، ۱۰۷-۱۱۷.
- [1] Charnes, A., Cooper, W. W., Rhodes, E., (1978). Measuring efficiency of decision making units. European Journal of Operational Research, 2, 429–444.
 - [2] Charnes, A., Cooper, W. W., Lewin, A. Y., Seiford, L. M., (1994). Data Envelopment Analysis: Theory, Methodology and Applications. Kluwer Academic Publishers, Norwell.
 - [3] Cook, W., Roll, Y., Kazakov, A., (1990). A DEA model for measuring the relative efficiencies of highway maintenance patrols. Information Systems and Operational Research, 28, 113–124.
 - [4] Roll, Y., Cook, W. D., Golany, B., (1991). Controlling factor weights in data envelopment analysis. IIE Transactions, 23, 2–9.
 - [6] Doyle, J. R., (1995). Multiatribute choice for the lazy decision-maker: let the alternatives decide. Organizational Behavior and Human Decision, 62, 87–100.
 - [7] Hosseinzadeh-Lotfi, F., Hatami-Marbini, A., Agrell, J., Aghayi, N., Gholami, K., (2013). Allocating fixed resources and setting targets using a common-weights DEA approach. Computers and Industrial Engineering, 64, 631–640.
 - [8] Kao, C., Hung, H. T., (2005). Data envelopment analysis with common weights: the compromise solution approach. Journal of the Operational Research Society, 56, 1196–1203.
 - [9] Färe, R., Grosskopf, S., (1996). Productivity and intermediate products: A frontier approach. Economics Letters, 50, 65–70.
 - [10] Kao, C., Hwang, S. N., (2008). Efficiency decomposition in two-stage data envelopment analysis: An application to non-life insurance companies in Taiwan. European Journal of Operational Research, 185, 418–429.
 - [11] Fukuyama, H., Weber, W. L., (2010). A slacks-based inefficiency measure for a two-stage system with bad outputs. Omega, 38, 398–409.
 - [12] Tone, K., Tsutsui, M., (2009). Network DEA: A slacks-based measure approach. European Journal of Operational Research, 197, 243–252.
 - [13] Kao, C. (2009). Efficiency decomposition in network data envelopment analysis: a relational model. European Journal of Operational Research, 192, 949–962.
 - [14] Lozano, S., (2011). Scale and cost efficiency analysis of networks of processes. Expert Systems with Applications, 38, 6612–6617.
 - [15] Yang, C., Liu, H. M., (2012). Managerial efficiency in Taiwan bank branches: A network DEA. Economic Modelling, 29, 450–461.
 - [16] Tamiz, M., Jones, D., Romero, C., (1998). Goal programming for decision making: An overview of the current state-of-the-art. European Journal of Operational Research, 111, 569–581.
 - [17] Toloo, M., (2014). An epsilon-free approach for finding the most efficient unit in DEA. Applied Mathematical Modelling, 38, 3182–3192.
 - [18] Pourmahmoud, J., Zeynali, Z., (2016). DEA Network Structures Sensitivity to Non-Archimedean Epsilon value. Research Journal of Applied Sciences, 11(8), 751–758.